

УДК 621.15.038

А.А. ХАЛАТОВ, д-р техн. наук; проф., академик НАНУ; Институт технической теплофизики НАН Украины; НТУУ «КПИ», Киев;

М.В. БЕЗЛЮДНАЯ, аспирант НТУУ «КПИ», Киев;

Ю.Я. ДАШЕВСКИЙ, канд. техн. наук; зав. сектором, отдел турбин ГП НПКГ «Зоря-Машпроект», Nikolaev;

С.Д. СЕВЕРИН, канд. техн. наук; с.н.с. Институт технической теплофизики НАН Украины, Киев;

И.И. БОРИСОВ, канд. техн. наук; ведущий н.с. Институт технической теплофизики НАН Украины, Киев

АДАПТАЦІЯ $k-\epsilon$ МОДЕЛІ ТУРБУЛЕНТНОСТИ ПРИ МОДЕЛИРОВАННІ ПЛЕНОЧНОГО ОХЛАЖДЕННЯ ПЛОСКОЇ ПЛАСТИНИ ПРИ ВДУВЕ ЧЕРЕЗ ОДИН РЯД ЦИЛІНДРИЧЕСКИХ ОТВЕРСТИЙ В СФЕРИЧЕСКИХ УГЛУБЛЕННЯХ

Представлено численное моделирование пленочного охлаждения плоской пластины через один ряд цилиндрических отверстий в сферических углублениях. На основании результатов эксперимента была проведена адаптация $k-\epsilon$ модели турбулентности для моделирования подобных течений. Для CFD-моделирования был использован коммерческий пакет ANSYS CFX 14.

Ключевые слова: пленочное охлаждение, адиабатическая эффективность, сферические углубления, численное моделирование, $k-\epsilon$ модель турбулентности.

Введение

Пленочное (заградительное, завесное) охлаждение широко используется в охлаждаемых лопатках высокотемпературных газотурбинных двигателей различного назначения. Традиционно используемые схемы пленочного охлаждения основаны на подаче охладителя через систему одно- и двухрядных цилиндрических отверстий, ориентированных под углом 30...45 градусов к охлаждаемой поверхности. Однако, с повышением температуры газа в проточной части турбин потребное количество охладителя возрастает настолько заметно, что потери от охлаждения могут превысить теплофизический эффект от повышения температуры газа [1]. Поэтому поиск более эффективных схем пленочного охлаждения с меньшим расходом охладителя представляет собой актуальную научную и прикладную задачу. При этом альтернативные системы охлаждения должны обладать высокой технологичностью изготовления.

Таким требованиям удовлетворяет, в частности, исследованная в настоящей работе система пленочного охлаждения с выпуском охладителя через цилиндрические отверстия, расположенные в сферических углублениях.

В последние годы широкое распространение получило численное (CFD) моделирование систем плёночного охлаждения. Однако, как показали многочисленные исследования в данном направлении, использование стандартных моделей турбулентности, приводит к недопустимо большим погрешностям в определении параметров потоков при исследованиях пленочного охлаждения, и для достижения приемлемой точности CFD-расчетов часто требуется дополнительная адаптация моделей.

В настоящей работе выполнено численное моделирование пленочного охлаждения плоской пластины с подачей охлаждающего воздуха через один ряд цили-

© А.А. Халатов, М.В. Безлюдная, Ю.Я. Дащевский, С.Д. Северин, И.И. Борисов, 2013

ндрических отверстий, выполненных в сферических углублениях. Тестирование модели турбулентности проводилось с использованием собственных экспериментальных данных по наиболее важному параметру – адиабатной эффективности плёночного охлаждения, который определялся как [1]:

$$\eta = \frac{T_{\infty} - T_{aw}}{T_{\infty} - T_2},$$

где T_{∞} – температура основного потока, T_2 – температура вдуваемого воздуха в плоскости вдува; T_{aw} – температура адиабатной стенки.

Эксперименты проводились на установке, схема которой представлена в работе [2]. В этой работе приведены результаты исследований плёночного охлаждения плоской пластины двухрядной системой отверстий в сферических углублениях. При исследовании однорядной системы, отверстия и лунки первого ряда (вверх по потоку) замазывались акриловой шпаклевкой (в работе [2] не приведено).

Для оценки режимных параметров использовался параметр вдува m (часто называемый также коэффициентом вдува), который определялся по формуле:

$$m = \frac{W_2 \rho_2}{W_{\infty} \rho_{\infty}},$$

где W_{∞} , W_2 – скорости основного потока и вдуваемого воздуха; ρ_{∞} , ρ_2 – плотности основного потока и вдуваемого воздуха.

Компьютерная модель

Геометрическая 3D-модель плёночного охлаждения плоской поверхности с выдувом охладителя через один ряд цилиндрических отверстий в сферических углублениях была построена в *ANSYS Design Manager*. Она представляла собой канал, в который из большого объема (пленаума) через один ряд цилиндрических отверстий, расположенных под углом 30° к поверхности пластины в сферических углублениях, подавался охладитель. Схема расположения отверстий представлена на рис. 1. Диаметр сферического углубления D составлял 8 мм; относительная глубина h/D – 0,5; диаметр цилиндрических отверстий d – 3,2 мм; поперечный шаг t – 16 мм ($t/d = 5$). Нижняя линия проекции цилиндрического отверстия на плоскость XY проходила через край углубления вниз по потоку (см. рис. 1, сечение $A-A$). Длина основного и предвключенного участков модели составляли соответственно $x/d = 12,5$ и $x/d = 35$. Геометрия компьютерной модели была взята из условий физического эксперимента, который и использовался для адаптации.

В расчетах использовалась неструктурированная комбинированная сетка, построенная при помощи сеточного генератора

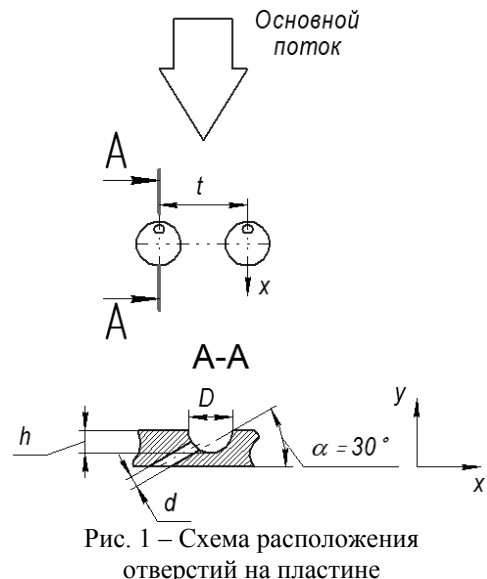


Рис. 1 – Схема расположения отверстий на пластине

ANSYS CFX Mesh 14. Она представляет собой комбинацию тетраэдральных элементов в области основного потока, с призматическими элементами вблизи твёрдых стенок, ограничивающих каналы расчётной модели. Сетка состояла из 2242808 элементов и 508023 узлов. На поверхности пластины, отверстий в углублениях и стенках пленума было выполнено сгущение. На поверхности пластины и верхней стенке пленума в области сгущения взято 20 ячеек, в каналах и углублениях – 15. Значение y^+ во всех случаях находилось в пределах от 1 до 2, что удовлетворяет условиям применения моделей турбулентности $k-\omega$ группы для корректного моделирования пристеночных течений, и может быть использовано для $k-\epsilon$ моделей турбулентности с масштабируемой пристеночной функцией.

Осреднённые по Рейнольдсу уравнения Навье-Стокса решались для вязкого теплопроводного газа в стационарной постановке задачи с использованием полного уравнения энергии. Границные условия на входе и выходе были заданы близкими к условиям эксперимента (нулевое значение толщины пограничного слоя перед участком вдува), при этом твёрдые границы расчётной области были заданы как адиабатные ($q = 0$). На боковых поверхностях расчетной модели были заданы условия симметрии. Границные условия, задаваемые в проведенных расчетах, соответствующие значениям параметра вдува $m = 0,5; 1,0; 1,5; 2,0$ представлены в табл. 1. Интенсивность турбулентности основного потока равнялась 1 %, данное значение было взято из условий эксперимента. Области задания граничных условий представлены на рис. 2.

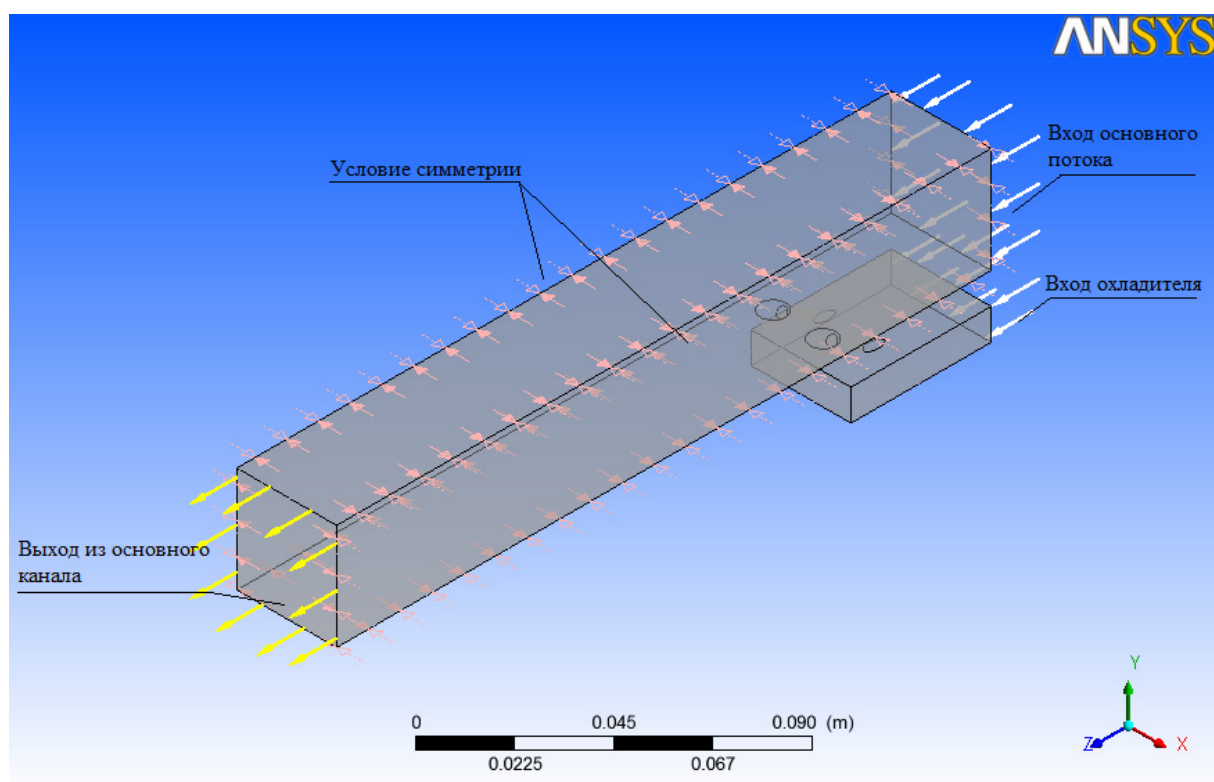


Рис. 2 – Области задания граничных условий

Границные условия

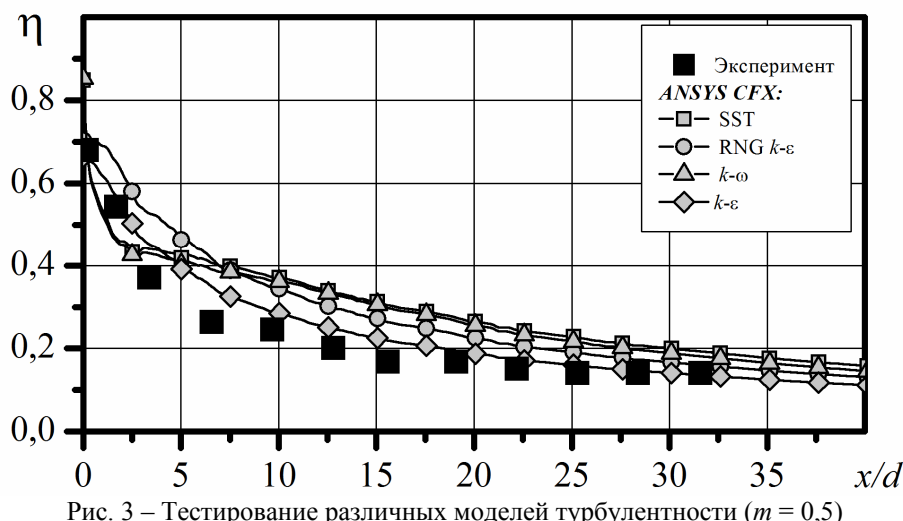
Таблица 1

Область	Среднее статическое давление, Па	Средняя скорость, м/с	Температура, °C	Расход воздуха, кг/с	Интенсивность турбулентности
Вход основного потока	–	30	15	–	1 %
Вход (подача) вдуваемого воздуха	–	–	70	0,0002382 $m = 0,5$	1 %
				0,0004764 $m = 1,0$	
				0,0007146 $m = 1,5$	
				0,0009528 $m = 2,0$	
Выход из основного канала	101300	–	–	–	–

Анализ моделей турбулентности

Сначала были проведены тестовые расчеты для выбора адекватной модели турбулентности. Для этого были использованы четыре модели – две модели $k-\epsilon$ группы – классическая $k-\epsilon$ модель и $RNG\ k-\epsilon$ модель и две модели $k-\omega$ группы – классическая $k-\omega$ -модель и SST -модель Ментера. Расчеты выполнены для четырех параметров вдува $m = 0,5, 1,0, 1,5$ и $2,0$. Поскольку для исследованных случаев имеет место одинаковый характер поведения кривых эффективности пленочного охлаждения для различных моделей турбулентности, то в статье анализ моделей турбулентности приводится только для параметра вдува $m = 0,5$.

Рассмотрена локальная эффективность пленочного охлаждения вдоль центральной линии пластины за сферическими углублениями вниз по потоку. Результаты анализа моделей турбулентности представлены на рис. 3. Средняя эффективность будет представлена в дальнейших работах.



Из анализа представленных результатов следует, что при значении параметра вдува $m = 0,5$ наилучшее совпадение с результатами собственных экспериментов обеспечивает классическая $k-\epsilon$ модель турбулентности, которая обеспечивает приемлемый компромисс между вычислительными ресурсами и точностью получаемых решений [3]. Как следует, для $k-\epsilon$ модели турбулентности во всем диапазоне изменения отношения x/d максимальное отклонение расчетных значений эффективности пленочного охлаждения от экспериментальных данных составляет около 15 %. Наибольшее расхождение с результатами экспериментов показали расчёты, выполненные с использованием $k-\omega$ и SST моделей. Помимо количественного расхождения между результатами моделирования на основе моделей $k-\omega$ группы и экспериментальными данными на участке $2 < x/d < 5$ имеет место физически некорректный характер изменения кривой эффективности пленочного охлаждения.

Погрешность на уровне 15 % является минимальной среди протестированных моделей, однако она является приемлемой лишь для оценочных расчетов, поэтому далее была выполнена адаптации $k-\epsilon$ модели к расчету рассматриваемого типа пленочного охлаждения при выпуске охладителя в систему цилиндрических отверстий, расположенных в сферических углублениях. При этом рассмотрена местная эффективность пленочного охлаждения, рассчитанная вдоль центральной линии за отверстиями.

Адаптация $k-\epsilon$ модели турбулентности к расчету пленочного охлаждения

При использовании в коммерческих компьютерных пакетах стандартной $k-\epsilon$ модели рекомендуемый набор эмпирических констант следующий [4]: $C_\mu = 0,09$; $C_{\epsilon 1} = 1,44$; $C_{\epsilon 2} = 1,92$; $\sigma_k = 1,0$; $\sigma_\epsilon = 1,3$; $Pr_t = 0,9$; $Sc_t = 0,9$. При адаптации модели варьированию подвергалась только константа турбулентности $C_{\epsilon 1}$, которая изменялась в пределах от 0,8 до 1,8. Эта константа включена в модельное уравнение, которое описывает уменьшение флуктуации скорости за счёт вязкости (диссипации) и определяет генерацию ϵ [3]. Таким образом, изменяя величину $C_{\epsilon 1}$, можно влиять на диссипацию турбулентной энергии. На рис. 4–7 для различных значений константы турбулентности $C_{\epsilon 1}$ представлены результаты расчета, характеризующие продольную эффективность пленочного охлаждения для параметра вдува $m = 0,5; 1,0; 1,5$ и $2,0$.

Анализ представленных результатов показывает, что при $m = 0,5$ (рис. 4) наилучшее согласование с результатами эксперимента обеспечивает значение константы $C_{\epsilon 1} = 1,2$. При этом максимальное отклонение η составляет 4 %. При увеличении параметра вдува до 1,0 значение константы $C_{\epsilon 1}$, дающее наилучшее совпадение с экспериментом, уменьшается до 0,8 (рис. 5). Для $m = 1,0$ максимальное расхождение с экспериментом – 3,8 %. При $m = 1,5$ (рис. 6) изменение константы турбулентности в пределах от 0,8 до 1,8 практически не влияет на результаты расчета. Наиболее близкое соответствие результатов расчета и экспериментальных данных обеспечивается при стандартном значении $C_{\epsilon 1} = 1,44$ (отклонение около 5 % по всей длине пластины). При более высоких значениях $m = 2,0$ (рис. 7) на участке $x/d < 10$ наилучшее согласование экспериментальных данных и результатов расчета обеспечивает значение константы $C_{\epsilon 1} = 1,8$, а при $x/d > 10$ наилучшее совпадение показывает стандартная $k-\epsilon$ модель ($C_{\epsilon 1} = 1,44$). Поскольку участок, на котором $C_{\epsilon 1} = 1,8$ обеспечивает несколько лучшее совпадение с экспериментальными данными, достаточно мал, а расхождение расчетных и экспериментальных данных по

эффективности при использовании $C_{\varepsilon 1} = 1,44$ равно 5 %, то для расчетов рекомендуется использовать значение константы равное 1,44.

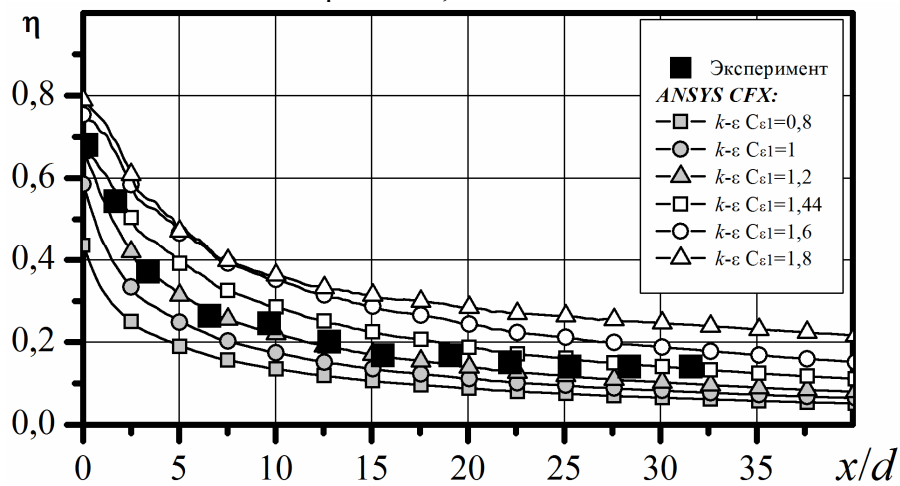


Рис. 4 – Изменение эффективности пленочного охлаждения вдоль центральной линии для различных значений константы $C_{\varepsilon 1}$ при $m = 0,5$

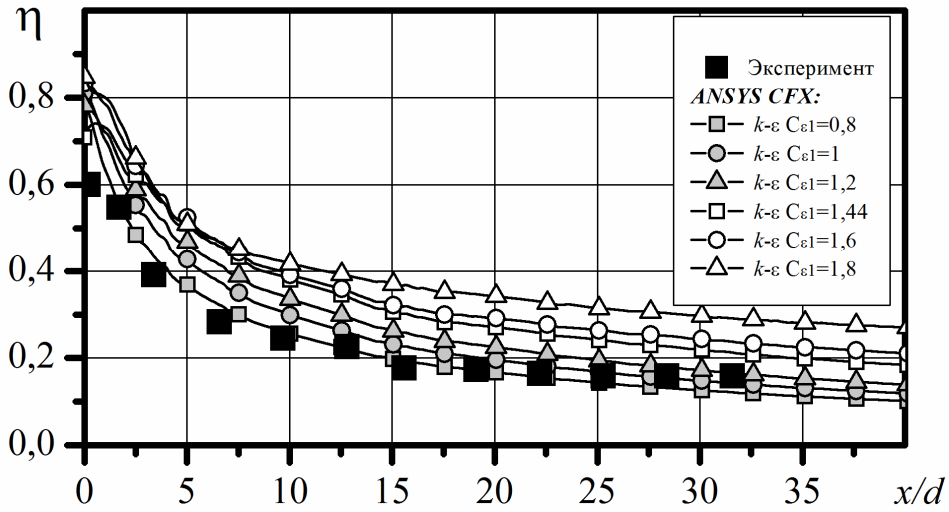


Рис. 5 – Изменение эффективности пленочного охлаждения вдоль центральной линии для различных значений константы $C_{\varepsilon 1}$ при $m = 1,0$

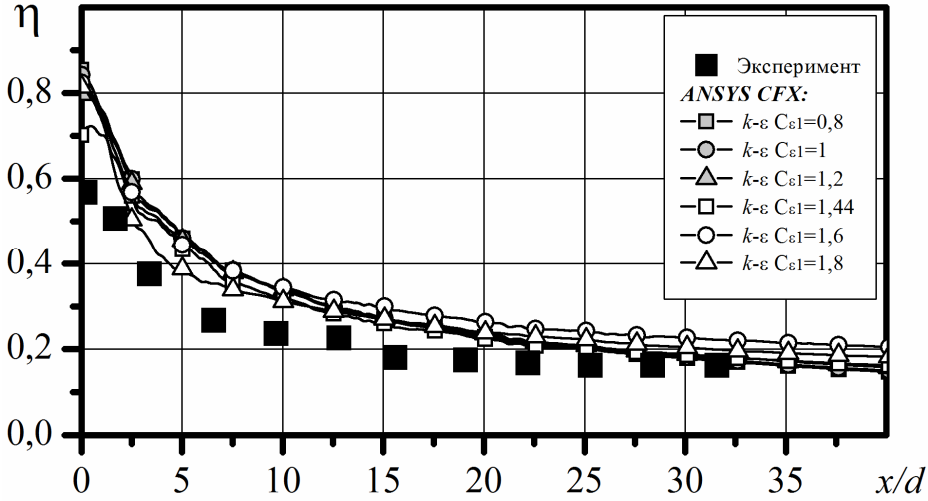


Рис. 6 – Изменение эффективности пленочного охлаждения вдоль центральной линии для различных значений константы $C_{\varepsilon 1}$ при $m = 1,5$

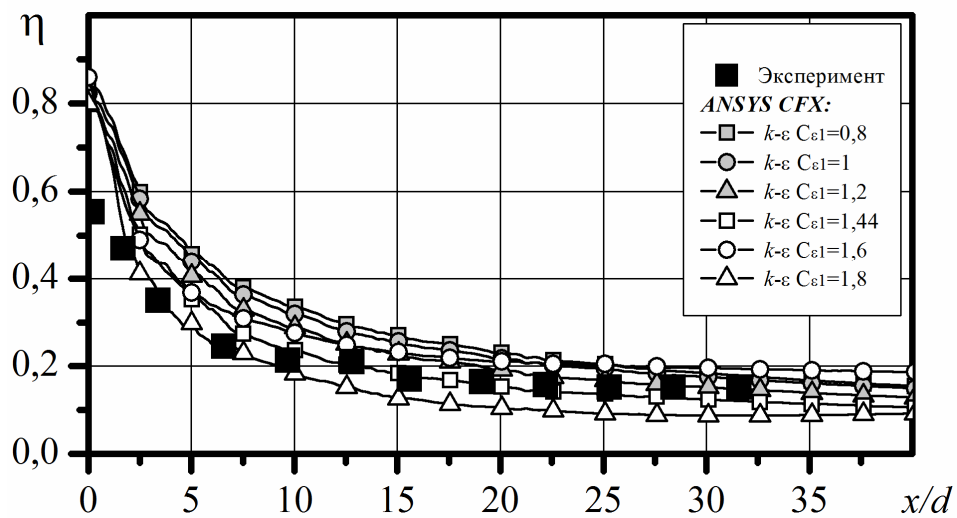


Рис. 7 – Изменение эффективности пленочного охлаждения вдоль центральной линии для различных значений константы $C_{\varepsilon 1}$ при $m = 2,0$

Таблица 2

Рекомендуемые значения $C_{\varepsilon 1}$

Параметр вдува	$m = 0,5$	$m = 1,0$	$m = 1,5$	$m = 2,0$
Значение $C_{\varepsilon 1}$	1,2	0,8	1,44	1,44

Рекомендуемые значения константы $C_{\varepsilon 1}$ для различных значений параметра вдува представлены в табл. 2. Таким образом, при расчете пленочного охлаждения с выпуском газа в цилиндрическое отверстие в сферическом углублении значение константы $C_{\varepsilon 1}$ изменяется по кривой с минимумом в зависимости от величины параметра m .

Выводы

1 Выполнено численное моделирование пленочного охлаждения при подводе охладителя через один ряд цилиндрических отверстий в сферических углублениях ($h/D = 0,5$) с использованием различных моделей турбулентности. Показано, что наилучшее согласование результатов расчета и эксперимента с точностью примерно 15 % обеспечивает $k-\varepsilon$ модель турбулентности.

2 Для повышения точности CFD -расчетов была выполнена адаптация $k-\varepsilon$ модели турбулентности к рассматриваемому типу течения за счет коррекции константы $C_{\varepsilon 1}$ в модели турбулентности.

3 При параметре вдува $m = 0,5$ и $1,0$ наилучшее совпадение с экспериментами обеспечивает значение $C_{\varepsilon 1} = 1,2$ и $0,8$ соответственно; при $m = 1,5$ и $2,0$ может быть использовано стандартное значение $C_{\varepsilon 1} = 1,44$. При расчетах с использованием рекомендуемых значений константы $C_{\varepsilon 1}$ максимальное расхождение с экспериментом не превышает 5 %.

Список литературы: 1. Халатов, А.А. Теплообмен и гидродинамика в полях центробежных массовых сил [Текст]: в 9-ти т. Т. 7. Вихревые технологии аэротермодинамики в энергетическом газотурбостроении / А.А. Халатов. – К.: Ин-т технической теплофизики НАН Украины, 2008. – 292 с. 2. Халатов, А.А. Пленочное охлаждение плоской поверхности двухрядной системой отверстий в сферических углублениях [Текст] / А.А. Халатов, И.И. Борисов, А.С. Коваленко, Ю.Я. Дащевский,

С.Д. Северин, С.В. Шевцов, М.В. Безлюдная // Восточно-Европейский журнал передовых технологий. – 2012. – Т. 57, № 3/10. – С. 4–8. 3. Снегирев, Ю.А. Высокопроизводительные вычисления в технической физике. Численное моделирование турбулентных течений [Текст]: учеб. пособие / Ю.А. Снегирев. – СПб.: Политехн. ун-т, 2009. – 143 с. 4. Мочалин, Е.В. Теплообмен и гидродинамика в полях центробежных массовых сил [Текст]: в 9-ти т. Т. 8. Гидродинамика закрученного потока в ротационных фильтрах / Е.В. Мочалин, А.А. Халатов. – К.: Ин-т технической теплофизики НАН Украины, 2010. – 428 с.

Поступила в редколлегию 10.02.2013

УДК 621.15.038

Адаптация $k-\epsilon$ модели турбулентности при моделировании пленоочного охлаждения плоской пластины при вдуве через один ряд цилиндрических отверстий в сферических углублениях [Текст] / А.А. Халатов, М.В. Безлюдная, Ю.Я. Дащевский, С.Д. Северин, И.И. Борисов // Вісник НТУ «ХПІ». Серія: Енергетичні та теплотехнічні процеси й устаткування. – Х.: НТУ «ХПІ», 2013. – № 12(986). – С. 55-62. – Бібліогр.: 4 назв. – ISSN 2078-774X.

Представлено чисельне моделювання плівкового охолодження плоскої пластини через один ряд циліндрических отворів в сферичних поглибленнях. На підставі результатів експерименту була проведена адаптація $k-\epsilon$ моделі турбулентності для моделювання подібних течій. Для CFD-моделювання був використаний комерційний пакет ANSYS CFX 14.

Ключові слова: плівкове охолодження, адіабатична ефективність, сферичні поглиблення, чисельне моделювання, $k-\epsilon$ модель турбулентності.

The numerical modeling of a film cooling over a flat plate was studied where a coolant supplies into a single row of cylindrical holes arranged in spherical dimples. Based on the experimental data, the adaptation of $k-\epsilon$ turbulence model was made to simulate such flows. The commercial software package ANSYS CFX 14 was employed in all numerical calculations.

Keywords: film cooling, the adiabatic effectiveness, spherical dimples, numerical simulation, $k-\epsilon$ turbulence closer.